

•P

специальную

$\text{Fe}_2\text{O}_3 \cdot \text{NiO}_3$

KP-VI 1571

1936

T_m

Van Arkel A. J.
Overbeek E. J. W.

Rec. T. ass. chim 1936,
55, 331-S

Fe_2NiO_4

[BP- 3536-VI]

1948

Буслахова Т. У.
Терасимов С. У.

(Tm)

ДСОХ, 1948, 18, 154-04

$\text{Fe}_2\text{O}_3 \cdot \text{NiO}$

B9-1604-VI

1951

Bochiró L.

Cp.

Compt. rend. 1951,
232, 1474-7.

$\text{Ni}(\text{FeO}_2)_2$

B9-1606-VI

1951

Okamura F., et al.

(Ttr) Sci. Repts Res. Inst. Tohoku Univ.

1951, 3A 223-28.

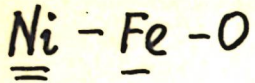
NiFe₂O₄ King E.G. Bsp 1578-H 1956

J. Phys. Chem.,
60, N~~X~~³ 410

Магнитоэлектрические
импульсы и температурные
изменения.

X-57-4-11135





Гранб H.U.,
Чеиджев A.A.

1957

Углеродистые металлы,
N4, 44

Р-углеродистые сплавы
и никелевые в системах

Fe - Co - O, Fe - Ni - O.



Bsp.-VI 1608.

1958

Ttr (NiFe_2O_4 , MnFe_2O_4 , MgFe_2O_4 , $\text{Li}_2\text{Fe}_2\text{O}_4$)

Болкоб D.U., Чепуринов В.У.

Жайыл. гора. Баянш. шхолы. Рис. № 11, 1958,
№ 2, 208-13.

Температурная зависимость параллельной
и антипараллельной кристаллической ферритов

PJX, 1959, 74108

Be.

ECTB 85. N. k.

NiFe₂O₄

B9P - 1607 - VI

1959 =

Parker R., Lord H.

(Ter)

Proc. Phys. Soc.,

1959, 74 n6, 493-95.

11961
Ni-Zn-феррит, NiFe_2O_4 | ВФ-1609-VI

~~Fe~~

~~магнит~~

Cp

1,8 - 20°K

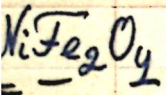
6Б265. Теплоемкость ферритов системы никель — цинк в области низких температур. Ко стрюкова М. О. «Ж. эксперим. и теор. физ.», 1961, 40, № 6, 1638—1643 (рез. англ.).—Из калориметрич. данных (метод см. РЖХим, 1955, № 4, 5269; 1957, № 10, 33863), полученных для ферритов NiFe_2O_4 , ZnFe_2O_4 и смешанного $0,2\text{Ni} \cdot 0,8\text{ZnFe}_2\text{O}_4$ в интервале т-р между 1,8 и 20° К, определен магнитный вклад в теплоемкость указанных в-в.

Резюме автора



Х.1962.6

1961


 ΔH_f
 ΔG_f

— 15Б269. О равновесных условиях при установлении феррита никеля водородом. Попов Г. Н. «Докл. АН СССР», 1961, 140, № 6, 1338—1340.—Изучены восстановление NiFe_2O_4 (I) водородом в замкнутой циркуляционной системе в интервале 600—900°. Равновесие достигалось как со стороны восстановления, так и со стороны окисления. Природа равновесных твердых фаз, определялась рентгенографически. В первой стадии восстановление идет до Ni, в котором затем начинает накапливаться Fe. Параметр решетки феррита в конце восстановления $a = 8,378 \text{ \AA}$, что соответствует Fe_3O_4 . Во второй стадии восстановления появляется виостит, который затем восстанавливается до Fe. Расчитаны давления диссоциации O_2 твердых р-ров I — Fe_3O_4 и ΔZ р-ции восстановления; $\underline{\Delta H_{298}(\text{обр., I}) = -257,0 \text{ ккал/моль}}$, $\underline{\Delta Z_{298}(\text{обр., I}) = -236,6 \text{ ккал/моль}}$ и $S_{298} = 40,0 \text{ энтр. ед.}$ Л. Р.

х. 1962. 15

Чурин

1962

Fe

ferrites

Ni_xFe_yO₄

Cp

23Б481. Теплоемкость ферритов при температурах жидкого гелия. Pollack S. R., Atkins K. R. Specific heat of ferrites at liquid helium temperatures. «Phys. Rev.», 1962, 125, № 4, 1248—1254 (англ.). — Теплоемкость $\text{Ni}_{0,94}\text{Fe}_{2,06}\text{O}_4$ (I), $\text{Mg}_{0,82}\text{Fe}_{2,18}\text{O}_4$ (II), $\text{Co}_{0,83}\text{Fe}_{2,17}\text{O}_4$ (III), $\text{Li}_{0,5}\text{Fe}_{2,50}\text{O}_4$ (IV), $\text{Ni}_{0,88}\text{Fe}_{2,12}\text{O}_4$ (V) и $\text{Ni}_{0,58}\text{Fe}_{2,42}\text{O}_4$ (VI) измерена в интервале 1,8—5° К по методике Клемента и Куиннilla (РЖХим, 1955, № 14, 28442) с использованием угольного термометра сопротивления, служащего одновременно нагревателем. С целью устранения десорбционных эффектов применен тепловой ключ. Содержание Zn в образцах ~0,02%, что не могло сказаться на результатах измерений (наличие антиферромагнитного перехода ZnFe_2O_4 при ~10° К). Эксперим. значения C_p описываются уравнением $\alpha_M T^{3/2} + \beta T^3$, где α_M и β — константы, T — т-ра в °К. Вычисленные θ_D 625 ± 7 ; 762 ± 15 , 584 ± 10 , 512 ± 5 , 670 ± 8 и 608 ± 10 ° К для I, II, III, IV, V и VI соответственно хорошо согласуются с θ_D , полученными из измерений C_p при более высоких т-рах. Зависимость C_p от $T^{3/2}$, предсказываемая спин-волновой теорией Киттеля и Геринга («Phys. Rev.», 1951, 81, 869), также наблюдается, хотя значения α_M выше, чем вы-

Bip-16/11-11

+ 3

сни
ку об.

x. 1962. 23

численные на основании наблюдаемых т-р Кюри. Для вычисления магнитного поля H_N ядра Co^{2+} использованы опубликованные ранее данные (Bleaney B. «Phys. Rev.», 1950, 78, 214) по величине ядерного вклада в C_D получено $H_N = 410 \cdot 10^3$ э.

Л. Резницкий

таблицы

Ni_xFe_yO₄
Fe

1962

~~geppen~~

1962

Bp - 16-11-41

Specific heat of ferrites at liquid-helium temperatures. S. R. Pollack and K. R. Atkins (Univ. of Pennsylvania, Philadelphia). *Phys. Rev.* 125, 1248-54(1962).—The sp. heat of Li, Co, Mg, and Ni ferrite was measured from 1.8°K. to 5°K. by a calorimetric technique similar to that used by Clement (C. and Quinnell, *CA* 48, 1791g). A "heat switch" was used to cool the samples rather than a He exchange gas, thereby avoiding He desorption effects. In all cases the sp. heat C could be described by the relation $C = \alpha_M T^{1/2} + \beta T^2$, where T is the temp. and α_M and β are consts. The Debye temps. were computed from β and were in good agreement with values obtained at liquid-N temperatures. The $T^{1/2}$ temp. dependence verifies the spin-wave theory for these compds. although the values of α_M were consistently larger than anticipated from observed values of the Curie temp. Possible explanations for this are discussed. An extra term proportional to T^{-2} was observed for Co ferrite, and this was identified as the nuclear contribution to the sp. heat. From the magnitude of this term the magnetic field at the nucleus of the Co ion was evaluated as approx. 410 koe.

CA

+3

C.A. 1962.56.13
15051 bcd.

☒

1963

NiFe₂O₄

2 Б395. Давление диссоциации твердых растворов магнетита с ферритом никеля. Гордеев И. В., Третьяков Ю. Д. «Вестн. Моск. ун-та. Химия», 1963, № 2, 32—34.

Методом э. д. с. с использованием ячейки $\text{Fe}, \text{Fe}_{0.95}\text{O} | \text{т. э.} | \text{Ni}_x\text{Fe}_{3-x}\text{O}_4, \text{Ni}_{x/3}\text{Fe}_{1-x/3}\text{O}_4$, где т.э.—твердый электролит 15 мол. % CaO + 85 мол. % ZrO_2 , исследована р-ция диссоциации $2\text{Ni}_x\text{Fe}_{3-x}\text{O}_4 = 6\text{Ni}_{x/3}\text{Fe}_{1-x/3}\text{O}_4 + \text{O}_2$ при $900—1200^\circ$. Суммарная р-ция ячейки $1,90\text{Fe} + 2\text{Ni}_x\text{Fe}_{3-x}\text{O}_4 = 2\text{Fe}_{0.95}\text{O} + 6\text{Ni}_{x/3}\text{Fe}_{1-x/3}\text{O}_4$. Правый электрод ячейки рассматривался как квазибинарная система, компонентами которой являются находящиеся в равновесии твердые р-ры $\text{Ni}_x\text{Fe}_{3-x}\text{O}_4$ и $\text{Ni}_{x/3}\text{Fe}_{1-x/3}\text{O}_4$, имеющие постоянный состав. Получение юститной фазы производилось перед опытом электровосстановлением твердого р-ра NiFe_2O_4 и Fe_3O_4 . Образующаяся фаза имеет такое же соотношение катионов, как и шпинель при

Сдел.
м/рб.

X. 1964. 2

~~54~~ $x < 0.5$. С использованием термодинамич. данных по ΔG р-ции $1,90\text{Fe} + \text{O}_2 = 2\text{Fe}_{0,95}\text{O}$ вычислены ΔG р-ции диссоциации твердого р-ра. Результаты определения $\lg P_{\text{O}_2}$ и $\Delta\bar{G}_{\text{O}_2}$, и P_{O_2} табулированы с шагом 100° в интервале $900 - 1200^\circ$ для $x = 0,1, 0,2, 0,3, 0,4$, и $0,5$.

Л. Резницкий

4 Б407. Исследование шпинелеобразования в смеси NiO и α -Fe₂O₃ с помощью дифференциального термического анализа. Kleinert P. Untersuchung der Spinellbildung eines Gemisches von NiO und α -Fe₂O₃ mit der Differential-Thernioanalyse (DTA). «Monatsber. Dtsch. Akad. Wiss. Berlin» 1963, 5, № 2, 99—105 (нем.)

1963

Для исследования процесса образования шпинели в смеси NiO и α -Fe₂O₃ использовался метод дифференциального термич. анализа (ДТА) (нагрев со скоростью 20 или 30° в 1 мин., максим. т-ра 1100°; фотографич. запись с помощью зеркального гальванометра; чувствительность регистрации $\Delta T = 5,5$ мм/град; эталон — α -Al₂O₃). Исходные окислы получались трехчасовым прокаливанием при 1000° осажденных NiCO₃ и γ -FeOOH. Более активные окиси готовились прокаливанием этих же соединений при 500°. Активная NiO содержит 0,05 вес. % избыточного против стехиометрии O₂ и имеет дефектную структуру по Шоттки: Ni_{0,9895}²⁺ Ni_{0,0070}³⁺ □_{0,0035} O²⁻, где □ — катионная вакансия. Активная α -Fe₂O₃ имеет уд. поверхность 16,5 м²/г, тогда как прокаленная при 1000° 0,6 м²/г. Термографированию подвергнуты порошкообразные смеси или прессованные образцы (давл. 7 кг/см², диаметр образца 7, высота 12 мм). Установлено, что

Х. 1969. 4

сое.

мфд.

экзотермич. эффект наблюдается на кривых ΔT лишь в случае уплотненных смесей. Использование более активных окислов, предварительное измельчение и перемешивание смесей в течение 1 часа на вибромельнице и высокая скорость нагрева способствуют получению более четких данных. Во всех случаях начало эффекта лежит при 600° , максимум при $900—970^\circ$, а для наиболее активных смесей при 735° .

Л. Яковлев

Вг;
•Li

1963

NiFe₂O₄

2 Б376. Исследование механизма и условий равновесия восстановления феррита никеля водородом. Попов Г. П., Чуфаров Г. И. «Ж. физ. химии», 1963, 37, № 3, 586—594 (рэз. англ.)

С целью определения термодинамич. свойств NiFe₂O₄ (I) исследована р-ция восстановления I водородом в равновесных условиях в ранее описанной циркуляционной установке. Достижение равновесия производилось как со стороны восстановления, так и со стороны окисления парами H₂O, и средняя величина давления H₂ принималась за равновесную. Природа образующихся твердых фаз определялась рентгенографически. Применялся I, полученный спеканием смеси Fe₂O₃+NiO при 1200°, $a=8,332\pm0,005$ Å. Восстановление I до Fe₃O₄ (II) протекает через стадию образования непрерывного ряда твердых р-ров и образование Ni, параметр решетки которого до 20% восстановления остается постоянным. В дальнейшем параметр решетки

Х-1984-9

см. крафт.

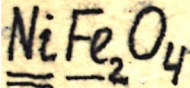
металлич. фазы растет до 3,56 Å, что указывает на обогащение Fe (до 60% восстановления). После 60% восстановления происходит восстановление FeO до Fe. По измеренным P_2 рассчитаны константы равновесия $K_p = P_{H_2O}/P_{H_2}$. С привлечением приближенных методов расчета вычислены термодинамич. величины системы I-II, активности и коэф. активностей I-II. Рассчитано для I $\Delta H_{298}(\text{обр.}) = -257,0 \text{ ккал/моль}$, $\Delta Z_{298}(\text{обр.}) = -236,6 \text{ ккал/моль}$, $S_{298} = 47 \text{ энтр. ед.}$ Л. Резницкий

1963

Mechanism and conditions of equilibrium in reducing nickel ferrite with hydrogen. G. P. Popov and G. I. Chufarov (Metal. Inst., Acad. Sci. U.S.S.R., Sverdlovsk). *Zh. Fiz. Khim.* 37, 586-94(1963). The mechanism of NiFe_2O_4 redn. was studied in a closed system, circulating H satd. with H_2O at 0° until equil. was attained. H_2O formed in the reaction was frozen out of the circulating gas. The degree of redn., α , was evaluated by the consumption of H. NiFe_2O_4 was obtained by heating $\text{NiO} + \text{Fe}_2\text{O}_3$ 30 min. at 1200° in air. Debyograms showed that at 900° NiFe_2O_4 was reduced to Fe_3O_4 , forming continuous solid solns. The lattice parameter, a , of Ni remained practically const. up to $\alpha = 20\%$. It increased to 3.56 Å. as α increased to 60%. At this point the redn. of the spinel phase was completed. In the 2nd stage of the process, FeO was reduced to Fe. The equil. const. of the reaction, $K_p = P_{\text{H}_2\text{O}}/P_{\text{H}_2}$, decreased as α increased, approaching the value corresponding to $\text{Fe}_3\text{O}_4-\text{FeO}$ equil. at $\alpha = 60\%$. Log K_p decreased linearly as $1/T$ increased, at $600-900^\circ$. The slope of the plots increased from 0.401 to 1.998 as α increased from 0.1 to 45%. The thermodynamic consts. were calcd. The presence of short-range order in the $\text{NiFe}_2\text{O}_4-\text{Fe}_3\text{O}_4$ solid solns. was indicated.

GBJR

C.A. 1963-59-1
2146c



1965

2 Б539. О температурной зависимости теплоемкости ферритов никеля, цинка, кобальта и меди. Журнал М. Т., Попов Г. П. В сб. «Материалы Научн. конференции, Совнархоз Нижне-Волжск. экон. р-на, Волгоградск. политехи. институт. Т. 2». Волгоград, 1965, 236—239

Обработка литературных данных по теплоемкости ферритов никеля, цинка, кобальта и меди в области т-р 0—1200°. Получены ур-ния:

$$C_p(\text{Fe}_3\text{O}_4) = 43,40 + 16,80 \cdot 10^{-3} T - 12,88 \cdot 10^5 T^{-2}$$

$$C_p(\text{NiFe}_2\text{O}_4) = 43,01 + 9,90 \cdot 10^{-3} T - 10,72 \cdot 10^5 T^{-2}$$

$$C_p(\text{CoFe}_2\text{O}_4) = 50,80 + 5,047 \cdot 10^{-3} T - 5,847 \cdot 10^5 T^{-2}$$

$$C_p(\text{ZnFe}_2\text{O}_4) = 49,90 + 24,002 \cdot 10^{-3} T - 27,40 \cdot 10^5 T^{-2}$$

$$C_p(\text{CuFe}_2\text{O}_4) = 33,01 + 1,363 \cdot 10^{-3} T - 1,443 \cdot 10^5 T^{-2}$$

Согласие с литературными данными для Fe₃O₄ в интервале 300—900° ~ 0,6%.

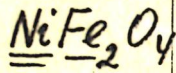
С. Рубинчик

VI-4508

+3

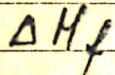


1. 1967. 2



Мренберг 10.9.,
Schmalzried H.,

1965



Ber. Bunsenges. Physik. Chem.,
69, N5, 396

термодинамическая и тер-
мокинетическая при-
рода газа (процессы,
реакции, ассоциация).



($\text{Cell. } \text{MgFe}_2\text{O}_4$) I

1965

В92-2213-VI

NiFe₂O₄

21 Б371. Определение энталпии образования никелевого феррита. Зайончковский Я. А., Рубальская Э. В. «Изв. АН СССР. Неорганические материалы», 1965, 1, № 2, 257—259

ΔHf В калориметре с бомбой измерена теплота сгорания металлического железа в смеси с закисью никеля с образованием никелевого феррита NiFe₂O₄ (—199,2 ккал). По полученным данным рассчитана стандартная энталпия образования никелевого феррита, равная —257,6 ± 0,9 ккал/моль.

Реферат авторов

Х. 1965. 21

Ni Fe₂O₄

Bsp - 2213 - VI

1965

The determination of the enthalpy of formation of nickel ferrite. Ya. A. Zaionchkovskii and E. V. Rubal'skaya. *Izv. Akad. Nauk SSSR, Neorgan. Materialy* I(2), 257-9(1965) (Russ). From the calorimetric detn. of the heat of combustion 199.2 ± 0.9 kcal./mole of mixts. of NiO(80.1%) and Fe(19.9%), and the standard enthalpy of formation of NiO, the standard enthalpy of formation of Ni ferrite, ΔH°_{298} (NiFe_2O_4) was calcd. as -257.6 ± 0.9 kcal./mole.

R. J. Ackermann

ΔH°
298

C. A.: 1965 63-6
6389d

Ni
Fe₂
O₄

Co Fe₂ O₄

(H_T-H₂₉₈)

392

16 Б642. Исследование высокотемпературной энталпии ферритов никеля и кобальта. Ландя Н. А., Чачанидзе Г. Д., Чуприн А. А., Павленишвили Т. А., Лежава Н. Г., Варазашвили В. С. «Изв. АН СССР. Неорган. материалы», 1966, 2, № 11, 2050—2057

Керамическим способом получены ферриты никеля и кобальта стехиометрич. состава; на рентгенограммах образцов не обнаружено заметного кол-ва добавочных линий. Термографич. и баллистич. измерениями проверены положения точек Кюри указанных образцов; результаты удовлетворительно согласуются между собой и с литературными данными. Методом смешения в массивном адиабатич. калориметре, эффективное тепловое значение которого определялось по корунду, измерена энталпия ферритов никеля и кобальта в интервале 400—1000°. По эксперим. данным и известным в литературе значениям теплоемкости ферритов никеля и кобальта при 25° выведены ур-ния т-рной зависимости энталпии и теплоемкости в интервале 25—1000°.

Автореферат

Х: 1967: 16 (см. также Co Fe₂ O₄) I

NiFe₂O₄
феррит

Ni

H-M₅

- 4 Е523. Исследование высокотемпературной энталпии ферритов никеля и кобальта. Ландия Н. А., Чачаидзе Г. Д., Чуприц А. А., Павленишвили Т. А., Лежава Н. Г., Варзашвили В. С. «Изв. АН СССР. Неорг. материалы», 1966, 2, № 11, 2050—2057

Энталпия феррита Ni и Co измерена в интервале 400—1000° С методом смешения в массивном адиабатич. калориметре. По эксперим. данным и известным в литературе значениям теплоемкости ферритов Ni и Co при 25° С выведены ур-ния температурной зависимости энталпии и теплоемкости в интервале 25—1000° С. Определены кажущиеся тепловые эффекты ферромагн. превращений. Показано, что измерения, проведенные ранее Боширом, содержали значительные погрешности. Сравнение эксперим. данных с величинами, полученными по энтропийному методу расчета высокотемпературных теплоемкостей, показали вполне удовлетворительные результаты.

д. 1967. 48

+1

19

Ni Fe₂O₄

Co Fe₂O₄

ΔH

C_p

+1

B90-114411-11

89118c Determination of the high temperature enthalpies of nickel and cobalt ferrites. N. A. Landiya, G. D. Chachanidze, A. A. Chuprin, T. A. Pavlenishvili, N. G. Lezhava, and V. S. Varazashvili. *Isv. Akad. Nauk SSSR; Neorg. Mater.* 2(11), 2050-7(1966)(Russ). The enthalpies of Ni ferrite and Co ferrite were measured by the method of mixing in an adiabatic calorimeter at 700-1300°K. The data were combined with existing lower temp. results to yield for Ni ferrite the equations for enthalpy and heat capacity: $H_T - H_{298.15} = 132.353T + 0.059127T^2 + 1,952,413.3T^{-1} - 51,265.47$ j./mole (298-855°K.), $C_p = 132.353 + 0.118254T - 1,952,413.3T^{-2}$ j./mole-degree (298-855°K.), and $H_T - H_{298.15} = 203.726T - 65,844.39$ j./mole (855-1300°K.), $C_p = 203.726$ j./mole-degree (855-1300°K.). For Co ferrite the equations are: $H_T - H_{298.15} = 127.47T + 0.06605663T^2 + 1,258,559T^{-1} - 48,139.528$ j./mole (298-773°K.), $C_p = 127.47 + 0.13211326T - 1,258,559T^{-2}$ j./mole-degree (298-773°K.), and $H_T - H_{298.15} = 202.05T - 61,991.9$ j./mole (773-1300°K.), $C_p = 202.06$ j./mole-degree (773-1300°K.). The heats of transition of Ni ferrite at 855°K. and of Co at 773°K. are 205 and 646 kcal./mole, resp.

R. J. Ackermann

C.A. 1967:66:20

X

БФ 4442-И

1966

ферритов никеля и кобальта в интервале 25—1000° С. Ландия Н. А., Чачацидзе Г. Д., Чуприи А. А., Павленишвили Т. А., Лежава Н. Г., Варазашвили В. С. В сб. «Хим. связь в полупроводнике и термодинамика». Минск, «Наука и техника», 1966, 183—186

Ni и Co

NiFe₂O₄CoFe₂O₄

+1

ΔH, Cp

Установлено, что энталпия ферритов Ni и Co ниже точек Кюри T_K , равных соответственно 582 и 500° С, описывается уравнением $\Delta H_{298,15}^T = aT + bT^2 + cT^{-1} + d$, коэф. которого определяются из опытных данных. Выше точки Кюри энталпия зависит линейно от температуры T . Ниже точки Кюри молярная теплоемкость C_p ферритов описывается уравнением $C_p = A + BT + CT^{-2}$, где коэф. A , B и C также определяются из опыта. Выше точки Кюри теплоемкость не зависит от T : у Ni-феррита $C_p = 203$, 726 дж/моль·град, а у Co-феррита $C_p = 202,06$ дж/моль·град. В области точки Кюри существует λ -переход,

Ф. 1967. 88

☒

соответствующий превращению из ферромагнитного в парамагн. состояния. Условная теплота ферромагн. превращения для Ni-феррита составляет $\Delta H_{\text{пр}} = -856,4 \text{ дж/моль}$, а для Со-феррита $\Delta H_{\text{пр}} = 2707 \text{ дж/моль}$. Проведено сравнение теплоемкости ферритов с суммой истинных теплоемкостей окислов Fe_2O_3 , NiO и CoO . Для областей, далёких от точек Кюри, получено удовлетворительное соответствие правилу аддитивности, в то время как вблизи точек Кюри ферритов и окисла Fe_2O_3 ($T_K = 950^\circ \text{K}$) наблюдается отклонение от этого правила $\sim 8-10\%$.

Н. А. Смольков

Ni-peppim ($\underline{\text{NiFe}_2\text{O}_4}$) BP 4442-1966

Co-peppim (CoFe_2O_4)

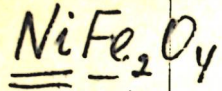
80134x Enthalpy and specific heat of nickel and cobalt ferrites at 25-1000°. N. A. Landiya, G. D. Chachanidze, A. A. Chuprin, T. A. Pavlenishvili, N. G. Lezhava; and V. S. Varazashvili. *Khim. Svyaz Poluprov., Inst. Fiz. Tverd. Tela Poluprov., Akad. Nauk Beloruss. SSR.* 1966, 183-6(Russ). Ni and Co ferrites were prepd. by heating NiO with Fe_2O_3 and CoO with $\text{FeSO}_4 \cdot 7\text{H}_2\text{O}$, resp., at 1300-1400°. The enthalpies of the ferrites were detd. in an adiabatic calorimeter and the sp. heats were calcd.

E. Jozefowicz

(+1)

C.A. 1967 · 66 · 18

[X]



Cp

Джисев С., Оразсахатов А. 1966

Узб. АН Түркм. ССР, Сер. геол.-техн.
хим. № 11 за 1966 г.

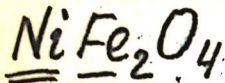
N2, 27

"склерок" термоэлектрическости с
морка. Кора из зернистов.

(Cел. MnFe₂O₄) I



1967



19 Б559. Изучение реакций взаимодействия ферритов кобальта, никеля и железа с сульфидом железа.

Завьялов М.М., Смирнов В.И. «Докл. АН СССР», 1967, 172, № 1, 149—152

Изучены реакции взаимодействия ферритов Ni, Co и Fe с сульфидом железа в интервале 1000—1250°. По имеющимся термодинамич. данным рассчитано изменение изобарно-изотермического потенциала; экспериментально исследована кинетика выделения сернистого газа в системе феррит — сульфид железа. Скорость десульфуризации удовлетворительно описывается ур-нием $\alpha = 1 - e^{kt^n}$, где α — степень десульфуризации, k , n — постоянные. Кажущаяся энергия активации процесса со-

+2

Х. 1967. 19



ставляет в случае феррита никеля 23 000 кал/моль, феррита кобальта — 51 000 кал/моль, магнетита — 68 000 кал/моль. Наименее прочным из исследованных ферритов является феррит никеля. Продукты взаимодействия подвергались хим. и рентгенофазовому анализам, которые показали, что наряду с выделением сернистого газа происходит сульфидирование ферритов; $\text{NiO} \cdot \text{Fe}_2\text{O}_3$ сульфирируется полнее, чем $\text{CoO} \cdot \text{Fe}_2\text{O}_3$.

Автореферат

Ommuck 1068

1968

$\frac{NiFe}{= - 2}$ O₄

Navuotsky A.
Kleppa O. J.

M. Juorg. and Nucb.
dieu., 30(2), 479.

(see. Mg Al₂ O₄)

Alf

Ommuck 1068

NiFe₂O₄

O₄

B9 - 7156 - VI

1969

12 Б1170. Термодинамика взаимодействия ферритов никеля, магния, цинка с окислами цинка, магния, никеля.
Башкиров Л. А., Башкирова М. Г. «Ж. физ. хи-
мии», 1969, 43, № 12, 3092—3094

На основе фазового анализа продуктов реакций
 $\text{NiFe}_2\text{O}_4 + \text{ZnO} = \text{ZnFe}_2\text{O}_4 + \text{NiO}$ и $\text{MgFe}_2\text{O}_4 + \text{ZnO} = \text{Zn}-$
 $\text{Fe}_2\text{O}_4 + \text{MgO}$ рассчитаны изменения свободной энергии
указанных р-ций и образования ферритов никеля и маг-
ния из окислов, равные соответственно $-1,12 T$ и
 $1,45 T$ кал/моль и $-3,4$ и $-3,0$ ккал/моль. В расчетах ис-
пользована величина свободной энергии образования фер-
рита цинка из окислов, равная $-5,0$ ккал/моль. Л. С. Г.

Δ G_f

+2



+2

X. 1970:

12



NiFe₂O₄
α

B90-7156-IV

1969

71397g Thermodynamics of the interaction of nickel, magnesium, and zinc ferrites with zinc, magnesium, and nickel oxides.

Bashkirov, L. A.; Bashkirova, M. G. (USSR). *Zh. Fiz. Khim.*

1969, 43(12), 3092-4 (Russ). The exptl. data on the compn. of reaction products of substitution reactions between ZnFe₂O₄ and NiO, ZnFe₂O₄ and MgO, NiFe₂O₄ and ZnO, and MgFe₂O₄ and ZnO studied with a mole ratio of reactants of 1:1 at 900-1300° were obtained. By using them, free energy changes of reactions of NiFe₂O₄ + ZnO = ZnFe₂O₄ + NiO, MgFe₂O₄ + ZnO = Zn-Fe₂O₄ + MgO, NiO + Fe₂O₃ = NiFe₂O₄, and MgO + Fe₂O₃ = MgFe₂O₄ were calcd. They are -1.12T cal/mole and -1.45T cal/mole for the 1st and 2nd reaction, resp., (T is the temp.), and -3.4 kcal/mole and -3.0 kcal/mole for the 3rd and 4th reaction resp., at 1373°. The change of entropy for the 1st and 2nd reaction approxs. entropy of mixing in binary solns.

ΔG

Frantisek Cejnar

C.A. 1970.

79.14



+2

181

NiFe₂O₄

Reznitskii L. A.,
Sandiya N. A.

1969

Gp

BTT, 1969, n 12, 40 c.p.

Ni Fe₂O₄

1870

(система)

переходы.

Кр

11 Б766. Термодинамика системы железо—никель—кислород при 1000° С. Dalvi A. D., Smeltzer W. W. Thermodynamics of the iron—nickel—oxygen system at 1000° C. «J. Electrochem. Soc.», 1970, 117, № 11, 1431—1436 (англ.)

По данным о структуре и составе равновесных тв. фаз определены фазовые границы двухфазных полей вюстит—сплав, шпинель—сплав, NiO—сплав и трехфазных полей вюстит—шпинель—сплав и шпинель—NiO—сплав при 1000°. Хим. анализ показал, что р-римость Ni в вюстите регулируется изоморфным замещением Fe никелем. Установлено, что в области существования шпинельной фазы от магнетита до стехиометрич. феррита Ni ионы Fe²⁺ в октаэдрич. положениях замещаются ионами Ni²⁺.

Равновесная со сплавами шпинельная фаза существует от Ni_{0,04}Fe_{2,96}O₄ до NiFe₂O₄. Поле вюстит—шпинель

X. 1981-11

сплав состоит из вюстита, содержащего 0,51 ат.% Ni, шпинели с 0,60 ат.% Ni и Fe—Ni-сплава с 79,6 ат.% Ni. Поле шпинель—NiO—сплав состоит из феррита Ni, закиси Ni с 6,5 ат.% Fe и сплава Ni с 0,5 ат.% Fe. Рассчитано, что содержание Fe в NiO, равновесной со шпинелью и O₂, составляет приблизительно 0,05 ат.%. С использованием соотношений Гиббса—Дюгема из данных для вюстита определены давл. диссоциации составов, равновесных с Fe—Ni-сплавами. Показано, что р-римость NiO в вюстите проявляет положит. отклонение от идеальности.

А. Гузей

NiFe₂O₄

1973

(Cp)

T 47191j Thermophysical properties of magnetic semiconductors. Kamilov, I. K.; Shaknshaev, G. M.; Aliev, Kh. K. (USSR). *Teplofiz. Svoistva Tverd. Tel, Mater. Vses. Teplofiz. Konf. Svoistvam Veshchestv Vys. Temp.*, 3rd 1968 (Pub. 1971), 192-202 (Russ). Edited by Samsonov, G. V. "Naukova Dumka": Kiev, USSR. The thermal cond. (λ), heat capacity (c_p), and sound velocity (v) of magnetite, NiFe_2O_4 , $\text{Ni}_{0.1}\text{Zn}_{0.9}\text{Fe}_2\text{O}_4$, and $\text{Cu}_x\text{Cd}_{1-x}\text{Fe}_2\text{O}_4$, where $x = 0, 0.2, 0.3, 0.4, 0.5, 0.6, 0.7, 0.8$, and 0.9 , were detd., by using the same samples for all measurements. For all ferrites studied, the λ value was close to that for fused quartz. For the $\text{Cu}_x\text{Cd}_{1-x}\text{Fe}_2\text{O}_4$ ferrites, $\lambda(x)_T$ had a min. at $x = 0.5$, and no general regularity was found in the $\lambda(T)$ dependence. The low λ values and unusual $\lambda(T)$ behavior were attributed to short-wave phonons. The mean free path is very short in these ferrites, because the ferrite unit cell is a vol. quite full of dissipation centers, the no. of which is also temp.-dependent.

Frantisek Smutny

C.A. 1973 79 N 8



+2

8

1972

 $\text{NiO} \cdot \text{Fe}_2\text{O}_3$

30908r Dissociation pressure of nickel sulfate and the effect
of ferric oxide on its decomposition. Umetsu, Yoshiyuki;
 Tozawa, Kazuteru; Sjukur, Shaharani (Akita Univ., Akita,
 Japan). *Nippon Kogyo Kaishi* 1972, 88(1014), 495-9 (Japan).
 Dissocn. pressure of NiSO_4 and the effect of Fe_2O_3 on it were
 examd. thermogravimetrically by using $\text{SO}_2\text{-O}_2\text{-N}_2$ gas mixt.
 with controlled partial pressures of SO_3 . For the dissociation reaction
 $\text{NiSO}_4 = \text{NiO} + \text{SO}_3$, the partial pressure of SO_3 was given
 as $\log P_{\text{SO}_3}(\text{atm}) = -(12,476/T) + 9.98$, and the free energy
 change was $\Delta G^\circ(\text{cal}) = 57,080 - 45.66T$. For the reaction
 $\text{NiSO}_4 + \text{Fe}_2\text{O}_3 = \text{NiO} \cdot \text{Fe}_2\text{O}_3 + \text{SO}_3$, $\log P_{\text{SO}_3}(\text{atm}) = -(11,-370/T) + 9.22$, and $\Delta G^\circ(\text{cal}) = 52,020 - 42.16T$. From these
 data, the free energy of formation of nickel ferrite from its oxides
was calcd. as $\Delta G^\circ(\text{cal/mole}) = -5060 + 3.5T$. S. Goto

46

C. A. 1973. 78. N4.

$\text{NiO} \cdot \text{Fe}_2\text{O}_3$

1973

Borrell Y, et al

238-1200(6)

O.I.; p. 583

corr. Ag F-I

Ni₂Fe₉O₄

1973

NiO · Fe₂O₃

Topgeeb c.c.

(ΔHf)

"Tp. Ubaa. Kusn. Tex. un-Tq"

1973, Barn 16, 15-18.



(c.m. K-Si ; T)

NiFe₂O₄

1973

24 Б919. Теплоемкость ферритов-шпинелей. Камилов И. К., Шахшаев Г. М. В сб. «Хим. связь в кристаллах полупроводн. и полуметаллов». Минск, «Наука и техника», 1973, 255—261

В адиабатическом калориметре с автоматич. регулированием т-ры с точностью не менее 0,5% измерена теплоемкость 5-ти ферритов-шпинелей. Для моно- (I) и поликристаллов (II) магнетита исследован единый ход теплоемкости от 80 до 900° К. Отмечено различие характера низкот-рного ($\sim 114,5^{\circ}$ К) превращения I и II. Величина скачка теплоемкости I вблизи 114° К $\Delta C_p \approx 22,1$ кал/град·моль, а энтальпия превращения ~ 255 кал/моль. Соответствующие величины для II составили $\Delta C_p \approx 13$ кал/град·моль и $\Delta H(\text{превр.}) \approx 270$ кал/моль. Выше $T(\text{превр.})$ функции $C_p(T)$ I и II совпадают. Выше 500° К начинается отклонение C_p от обычного хода, продолжающееся до т-ры ферромагнитного превращения ($\sim 858^{\circ}$ К). Значение т-ры Кюри оценено не только по максимуму C_p , но и из магнитных измере-

24. 1973 N 24

теп'

ний. Величина скачка теплоемкости и энталпии превращения составили $\approx 30,5$ кал/град·моль и $\approx 1,6$ ккал/моль. Расчет ΔC_p из т-рной зависимости намагниченности в приближении молек. поля дал ≈ 34 кал/град·моль. В интервале 80–450° К измерены и представлены графически т-рные зависимости теплоемкостей NiFe_2O_4 (III), $\text{Ni}_{0,95}\text{Zn}_{0,05}\text{Fe}_2\text{O}_4$ (IV), CdFe_2O_4 (V) и $\text{Cu}_{0,4}\text{Cd}_{0,6}\text{Fe}_2\text{O}_4$ (VI). Результаты измерений для III совпадают с лит. данными, а для IV найдена λ-образная аномалия с максимумом при 127° К, $\Delta C_p \approx \approx 3,1$ кал/град·моль и $\Delta H(\text{превр.}) \approx 76,5$ кал/моль. По сравнению с I и II превращение III и IV более размыто. Ход кривой $C_p(T)$ для V не показал аномалий, что соответствует его структуре полностью нормальной шпинели. Для VI вблизи 110° К обнаружено превращение с $\Delta H(\text{превр.}) \approx 74 \pm 1$ кал/моль и $\Delta C_p \approx 3,9$ кал/град·моль, а вблизи точки Кюри $\Delta C_p = 5,6$ кал/град·моль и $\Delta H(\text{превр.}) \approx 60 \pm 1$ кал/моль. Низкот-рый переход в VI классифицирован как коллинеарный-неколлинеарный магнитный фазовый переход, существенно отличный от перехода, обнаруживаемого в Fe_3O_4 .

А. Гузей

1973

NiFe₂O₄

11 Е963. Теплоемкость ферритов-шпинелей. Каминлов И. К., Шахшаев Г. М. В сб. «Хим. связь в кристаллах полупроводн. и полуметаллов». Минск, «Наука и техника», 1973, 255—261

Исследована температурная зависимость теплоемкости моно- и поликристаллов магнетита поликристаллич. NiFe_2O_4 и CdFe_2O_4 -ферритов и твердых растворов никель-цинкового ($\text{Ni}_{0,95}\text{Zn}_{0,05}\text{Fe}_2\text{O}_4$) и медь-кадмииевого ($\text{Cu}_{0,4}\text{Cd}_{0,6}\text{Fe}_2\text{O}_4$) ферритов. В исследованных образцах вблизи т-ры 110°К обнаружено низкотемпературное превращение, близкое к фазовым переходам II рода. Библ. 22.

Автореферат

ф. 1973 № 11



(41)



W_{0.7}Fe₂O₃

1973

испарение

Захаров В.Г.,
Прокопе У.И.,

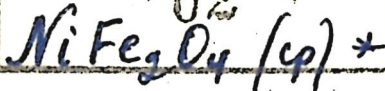
Краткое содерж. горн.
150-й Всесоюзный конгр. по
минерал. эксперим.,
1973, 2, 99-101.

(CaSS; I)

40801.4543

MGU, Ph, TC

31042

 O_2 

1974

4-5960

Grimes, R.W. On the specific heat of
 compounds with spinel structure. I. The
 ferrites. "Proc. Roy. Soc., London",
 1974, A338, N 1613, 209-221
 (англ.)

0365 стр 1

125 129

157

ВИНИТИ

(Ni, Fe) O_x

1975

85687r Thermodynamics of the iron-nickel-oxygen system. Dalvi, A.; Sridhar, R. (J. Roy Gordon Res. Lab., Int. Nickel Co. Canada, Mississauga, Ont.). *Met.-Slag-Gas React. Processes, [Pap. Int. Symp.]* 1975, 296-8 (Eng). Edited by Foroulis, Z. A.; Smeltzer, W. W. Electrochem. Soc., Inc.: Princeton, N. J. The equil. O-potential-compn. diagram of the Fe-Ni-O system was detd. at 800-1100°. The system is characterized by the presence of the Fe-Ni alloys (α and γ) and 4 oxide phases: wustite solid soln. $((\text{Ni}, \text{Fe})\text{O}_x)$, spinel $(\text{Ni}_y\text{Fe}_{2-y}\text{O}_4, 0 \leq y \leq 3)$, Ni oxide solid soln. $((\text{Fe}, \text{Ni})\text{O})$, and hematite (Fe_2O_3) with negligible Ni solv. The Fe-Ni alloys coexist successively with wustite, spinel, and Ni oxide, with increasing O potential.

Cat. 1975, 83 n 10

NiFe₂O₄

1976

ЗБ821. Физико-химическое исследование легкоплавких растворителей в системах «растворитель-феррит». II. Исследование растворителей на основе сплавов системы BaO—MoO₃. Казаринова Н. Г., Витинг Л. М., Резницкий Л. А. «Вестн. Моск. ун-та. Химия», 1976, 17, № 3, 336—340 (рез. англ.)

*диаграмм
и свойств*

Методами термич., визуально-полиграфич. и микроструктурного анализов исследована диаграмма плавкости системы MoO₃ (I) — BaO (II) в области до 40 мол. % II. Диаграмма указывает на существование α — тв. р-ра II в I, т-ра перитектич. р-ции $\text{ж} + \text{BaMoO}_4 = \text{Ba}_2\text{Mo}_2\text{O}_7$, равна 660°. В кач-ве р-рителя для NiFe₂O₄ (III) выбран эвтектич. состав 19 мол. % II и 81 мол. % I, т. пл. 630° и состав с 35 мол. % II, имеющий интервал кристаллизации 970—660°. Построена диаграмма

X. 1977. № 3

плавкости разреза псевдотройной системы 65 мол.% I—35 мол.% II—III. Установлена эвтектика при 610° и 2 мол.% III. Хим. анализ кристаллов III, выпавших из расплава, находится в хорошем соответствии с теор., т-ра Кюри $586 \pm 2^\circ$. Область составов от 10 мол.% III и выше в псевдотройной системе м. б. использована для выращивания монокристаллов III без замещения типа $\text{Ba} \rightleftharpoons \text{Ni}$. Эвтектич. состав с 19 мол.% II—81 мол.% I м. б. рекомендован в кач-ве калориметрич. среды в калориметре р-рения. Установлено, что полное р-рение III при соотношении р-ряемого в-ва и р-рителя 1:100 наступает в течение 1—2 мин. Определена вязкость и плотность расплавов. В интервале $630—750^\circ$ $\eta = 3,301 \cdot 10^{-6} \exp(31373/RT) (\pm 1,1\%)$, $d = 4,7229 - 0,840 \cdot 10^{-3} T (\pm 0,2\%)$. Сообщ. I см. РЖХим, 1976, 14Б917.

Л. Резницкий

NiFe_2O_4

On 39280

1976

NiAl_2O_4

15 Б830. Термодинамика феррита и алюмината никеля. Rog Grzegorz. Thermodynamics of nickel ferrite and aluminate. «Roczn. chem.», 1976, 50, № 1, 147—149 (англ.; рез. польск.)

В интервале 973—1473 К измерены э. д. с. ячеек с тв. O^2 -ионным электролитом $\text{Pt}|\text{Ni}, \text{NiO}||\text{Zr}_{0,85}\text{Ca}_{0,15}\text{O}_{1,85}||\text{NiM}_2\text{O}_4, \text{Fe}_2\text{O}_3, \text{Ni}|\text{Pt}$ ($M=\text{Fe}$ или Al). Рассчитаны термические зависимости энергий Гиббса р-ций $\text{NiO}+\text{Fe}_2\text{O}_3=\text{NiFe}_2\text{O}_4$ (1) $\Delta G^\circ(\text{ккал}/\text{моль})=(-4,51 \pm 0,10)-(0,89 \pm 0,05) \cdot 10^{-3}T$ и р-ции $\text{NiO}+\text{Al}_2\text{O}_3=\text{NiAl}_2\text{O}_4$ $\Delta G^\circ(\text{ккал}/\text{моль})=1,527-1,028 \cdot 10^4 T^{-1}+0,927 \cdot 10^{-3}T \lg T + 0,558 \cdot 10^{-3}T-3,597 \cdot 10^{-8}T^2$. Вычислены энергии Гиббса, энталпии и энтропии образования феррита и алюмината никеля из окислов при 1273 К, равные $-5,54$ ккал/моль; $-4,51$ ккал/моль, $0,89$ э. е.; $-5,31$; $-9,71$ и $-5,91$ соответственно. П. М. Чукуров

(ΔG)

(+)

X1976 N15

NiFe₂O₄ Om 39280

1976

NiAl₂O₄

84: 156454w Thermodynamics of nickel ferrite and aluminite.
Rog, Grzegorz (Inst. Mater. Eng., Sch. Min. Metall., Krakow,
Pol.). Roczn. Chem. 1976, 50(1), 147-9 (Eng). The emf.
measurements of solid oxide cells were used to det. the changes
of free energy, entropy, and enthalpy of formation of NiFe₂O₄
and NiAl₂O₄ from corresponding oxides at 973-1473°K. The
obtained results were compared with those obtained by other
authors. I. Kloczko

16f; 15f

A Hf.

(+1)

C.A. 1976 84 n 22

MnFe_2O_4

1976

Rog Gracova

(46f)

Rest. Park Likad

Born. - Heth, Gracova

Gram. 1976, 32, 7-738 (pol)

(see MnFe_2O_4 ; T)

$\text{Ni Fe}_2\text{O}_4$

1977

$\text{Co Fe}_2\text{O}_4$

$\text{Zn Fe}_2\text{O}_4$

87: 76721c X-ray diffraction studies of solid solutions of nickel ferrite (NiFe_2O_4)-cobalt ferrite (CoFe_2O_4)-zinc ferrite (ZnFe_2O_4) spinels. Bich, V. M.; Orlov, G. N.; Men, A. N.; Tomilov, I. P. (USSR). *Tr. Volgogr. Politekhn. In-ta* 1975, (2), 41-2 (Russ). From *R. Zh., Khim.* 1977, Abstr. No. 9B665. Title only translated.

(Ttr)

⑦2 18

C. A. 1977, 87 n 10

NiFe₂O₄

1977

22 Б806. Энтропия фазовых превращений некоторых индивидуальных ферритов и их твердых растворов. Чачаидзе Г. Д. «Сакартвелос ССР Мецниеребата Академиис мхамбе, Сообщ. АН ГрузССР», 1977, 86, № 1, 113—116 (рез. груз., англ.)

С использованием ДСК-1500 «Сетарам» определены т-ры и теплоты магнитных и структурных превращений ферритов NiFe_2O_4 , CoFe_2O_4 , тв. р-ров $\text{NiFe}_2\text{O}_4-\text{ZnFe}_2\text{O}_4$ и $\text{Li}_{0,5}\text{Fe}_{2,5}\text{O}_4-\text{ZnFe}_2\text{O}_4$. Исходные в-ва получены керамич. методом. Установлены концентрац. зависимости ΔS (превр.) и зависимости ΔS (превр.) от магнитного момента насыщения ($\mu_{\text{нас.}}$) в смешанных ферритах. Максимум $\Delta H_{\text{магн.}}$ и $\Delta H_{\text{структур.}}$ приходится на максимум $\mu_{\text{нас.}}$ в тв. р-рах. Полученные зависимости интерполировать по $T_{\text{киори}}$ и по $\mu_{\text{нас.}}$ теплоты превращений в бинарных системах.

Л. Резницкий

X. 1977 над +1 18

NiFe₂O₄

1977

Karrnburg 1. N. 1977.

(
NiFe₂,
Mn₂)

Teg. gekl. - 7 ^{c.8} Bee.
korrig. wo Kaledonitellip
31.1 - 3.2. 77. T-7
358-63

(Ni·Fe)O

Emmick 5791

1977

Tomlinson W.Y.

41Hm; 41Hf

J. Chem. Soc. Faraday
Trans.; 1977 N9, 1334-
1339

6 Б691. Изучение некоторых характерных особенностей намагниченности ферритов двухвалентных металлов, полученных в реакции двойного разложения. Durand Bernard, Paris Jacques M., Escoubes Margelle. Étude de quelques caractéristiques magnétiques des ferrites de métaux bivalents obtenus par réaction de double décomposition. «С. г. Acad. sci.», 1978, C287, № 5, 195—197 (франц.; рез. англ.)

1978

В реакции двойного разложения между ферритом щел. металла и солью двухвалентного металла при т-рах 600—1000° С получены ферриты двухвалентных металлов типа MFe_2O_4 (I), где $M=Co, Ni, Mg$ и Mn . В широком интервале т-р при напряженности внешнего магнитного поля $H \leq 150$ кэрстед изучена статич. магнитная восприимчивость χ и определена насыщающая намагниченность σ_∞ полученных ферритов. Установлено, что величина σ_∞ увеличивается в ряду соединений I с $M=Mg, Ni, Co, Mn$. Т-ры Кюри для образцов I, полученных при 600° К, составляют 605° К (Ni), 520° К (Co), 353—376° К (Mg) и 315° К (Mn), что хорошо согласуется с лит. данными. Величина намагниченности образцов I возрастает при повышении т-ры синтеза и после термообработки. Сделан вывод, что характер магнитных св-в ферритов I зависит от размеров зерен в поликрист. образцах. Ю. В. Ракитин

Омск 12

(Tz)

(+) ☒

х.1949, №

NiFe_2O_4

1979

Sekine Keiichi, et al.

многогран.
гексагон.
цессиев.

Yojiro Kyokaiishi, 1979,
87, N1009, 443-52.



coll. Fe_3O_4 -I

1549

NiFe₂O₄

Fe₃O₄

(ΔHf)

(+1) ⊗

92: 29202c The system iron-nickel-oxygen at 1273 K. Part
2. Activities in alloy and spinel solid solutions. Trinel-Dufour,
Marie Chantal; Pouillard, Gerard; Perrot, Pierre (Lab.
Thermodyn. Solide, Ec. Natl. Super. Chim. Lille, F-59650
Villeneuve d'Ascq, Fr.). *J. Chem. Res., Synop.* 1979, (9), 280-1
(Eng). The thermodn. activities of Fe, Ni, Fe₃O₄, and NiFe₂O₄
and the Fe-Ni alloy equil. consts. with the Fe₃O₄-NiFe₂O₄
spinel were calcd. using the Gibbs-Duhem equation and data
from previous studies of the Fe-Ni-O system at 1273 K. The
heats of formation of NiFe₂O₄ and Fe₃O₄ and the variation of
free energy in the equil. formation of Fe₃O₄ were also calcd.

C.A 1980.9214

Fe - Ni - O

1979

(*fb. factsp*)

91: 217606r The system iron-nickel-oxygen at 1273 K.
Part 1. Phase equilibria. Trine-Dufour, Marie Chantal;
Pouillard, Gerard; Perrot, Pierre (Lab. Thermodyn. Solide, Ec.
Natl. Super. Chim. Lille, F-59650 Villeneuve d'Ascq, Fr.). *J.
Chem. Res., Synop.* 1979, (6), 191 (Eng). The Fe-Ni-O system
was studied at 1273 K to det. the compns. of every phase in
equil. There are 2 3-phase areas inside which 29 tie-lines were
detd., and the solv. of FeO in NiO was measured directly; the
solv. of NiO in wustite was obtained from the tie-lines.

gazob.
habscob.

C.A. 1979 21 N 26

$Ni_x Fe_{3-x} O_4$

1980

92: 196416k Magnetic properties of fine particle nickel ferrite ($Ni_xFe_{3-x}O_4$) spinels. Orehotsky, J.; Davidson, C. R. (Dep. Energy Environ., Brookhaven Natl. Lab., Upton, NY 11773, USA). *Magn. Lett.*, 1980, 1(5-6), 117-22 (Eng). The room temp. magnetization and Curie temp. of fine particle $Ni_xFe_{3-x}O_4$ spinels ($0.49 \leq x \leq 1.68$) were detd. as a function of the Ni content. The Curie temp. is independent of compn. and has a value of 575° in contrast to reported bulk values which are compositionally dependent. The magnetization of the particles exhibited a bell shaped compositional dependency centered about the $Ni_1Fe_2O_4$ compn. which again was inconsistent with reported bulk behavior.

Curie

CA 1980 92 N22

Fe - Ni - O

1981

Lykasov A. A., et al.

Diffr., Sozetsiya Fa-
zovye. Prevrashch.
Protsessakh Vosstanov.
Met., (Mater. Tses. Konf.).

1978 (Publ. 1981), 41 - 45.

(crys. Fe-III-O; III)